

鋼桁の横座屈に関する考察

大阪大学 正員

前田幸雄

1. 緒言 近時、高張力鋼の使用により薄肉化するフレーム・ガーダーについてウェブの変形を考慮して、弾性横座屈応力の問題を取扱ったものである。

2. ウェブの変形を考慮しない場合の基本式

Fig. 1 を参照して $u_p, \bar{w}_p, \bar{w}_p$ = 位置ベクトルの固定軸 (x, y, z) 方向の成分; S 軸 = 座屈前の椅子の長さ方向の重心軸; u, \bar{w}, \bar{w} = セン断中心 S の x, y, z 方向の変位成分; $\phi(x, y) = \theta$ すなはて曲率とすれば

$$u_p = u + x(\cos\beta - 1) - (y - y_0)\sin\beta, \quad \bar{w}_p = \bar{w} + x\sin\beta + (y - y_0)(\cos\beta - 1) \quad (1)$$

$$\bar{w}_p = \bar{w} - \{x\cos\beta - (y - y_0)\sin\beta\} \frac{du}{dz} - \{x\sin\beta + (y - y_0)\cos\beta\} \frac{d\bar{w}}{dz} + \phi \frac{d^2\bar{w}}{dz^2} \quad (1)$$

変位 u, \bar{w}, \bar{w}_p , P が示す fiber Strain $\bar{\epsilon}$ は座屈前の初期量 $\bar{\epsilon}_0, \bar{w}_0, \bar{w}$ 及び座屈の直の増分 u, w, \bar{w} , $\bar{\epsilon}$ で表される

$$\bar{u} = u_0 + u, \quad \bar{w} = \bar{w}_0 + w, \quad \bar{\epsilon} = \bar{\epsilon}_0 + \bar{\epsilon} \quad (2)$$

β が微小量なることと肩次の項の省略を考えると式(1), 式(2)を用いて

$$\begin{aligned} \bar{\epsilon} &= \frac{du}{dz} + \frac{1}{2} \left[\left(\frac{du}{dz} \right)^2 + 2 \left(\frac{dw}{dz} \right) \left(\frac{du}{dz} \right) + \left(\frac{dw}{dz} \right)^2 + x^2 \left(\frac{d\beta}{dz} \right)^2 + (y - y_0)^2 \left(\frac{d\beta}{dz} \right)^2 \right] + \phi \frac{d^2\beta}{dz^2} - x \left(\frac{du}{dz} + \beta \frac{d\beta}{dz} + \beta \frac{d^2\beta}{dz^2} \right) \\ &\quad - (y - y_0) \left(\frac{du}{dz} - \beta \frac{d\beta}{dz} - \frac{\beta^2}{2} \frac{d^2\beta}{dz^2} \right) + \frac{\beta^2}{2} \frac{d^2u}{dz^2} + \frac{\beta^2}{2} (y - y_0) \frac{d^2w}{dz^2} \end{aligned} \quad (3)$$

次に $\int_A \bar{\epsilon} E dA = 0$ を用いて, $d\bar{w}/dz$ を計算し, 更に S 軸回りの内部モーメントと座屈の直の椅子に働く外部モーメントと等置して,

$$\frac{d^2\beta}{dz^2} = \beta \frac{d^2u}{dz^2} - k \left(\frac{d\beta}{dz} \right)^2, \quad \text{ここで } k = g_0 - \left(\frac{f}{J_y} \right) \int_A y (x^2 + y^2) dA \quad (4)$$

分布荷重 $p(z)$ と重心に作用する軸力 P が存在する場合, 式(4)を用いて, 平衡条件から

$$J_y \left(E I_y \frac{d^2u}{dz^2} + P \frac{d^2u}{dz^2} + \frac{d^2}{dz^2} \left[(M + P g_0) \beta \right] \right) = 0, \quad \text{及び} \quad (5)$$

$$\frac{d^2}{dz^2} \left(E J_y \frac{d\beta}{dz} \right) - \frac{d}{dz} \left(P g_0 \frac{d\beta}{dz} \right) - \frac{d^2}{dz^2} \left(E (w \frac{d^2\beta}{dz^2}) \right) - (M + P g_0) \frac{d^2u}{dz^2} - 2 \frac{d}{dz} \left(k M \frac{d\beta}{dz} \right) + P g_0 \beta = 0 \quad (6)$$

但し, $P = \frac{P}{A} = \frac{1}{A} \int_A (x^2 + y^2) dA$, $C_w = \text{セン断中心に沿る反り常数}$, $J = \text{挿り常数}$, $M = S$ 軸回りのモーメント

此の問題をエネルギー一理論で扱うと, 座屈時におけるポテンシャルエネルギーの角変化量 U は

$$U = V + U_1 + U_2 \quad (7)$$

と表され, ここで $V = \text{座屈の直の変形した椅子の内部歪エネルギー}$, $U_1 = \text{座屈の直の軸力 } P \text{ のポテンシャルエネルギー}$, $U_2 = \text{座屈の直の分布荷重 } p(z) \text{ のポテンシャルエネルギー}$ である。 V と U_1 を通常の梁理論で, 又 U_2 を式(4)を用いて計算すれば, $L = \text{椅子の長さ}$ として

$$\begin{aligned} U &= \frac{1}{2} \int_0^L \left[E I_y \left(\frac{du}{dz} \right)^2 + E C_w \left(\frac{d^2\beta}{dz^2} \right)^2 + G J_y \left(\frac{d^2\beta}{dz^2} \right)^2 - P \left(\frac{du}{dz} \right)^2 + P^2 \left(\frac{d\beta}{dz} \right)^2 - 2 g_0 \beta \frac{d^2u}{dz^2} \right. \\ &\quad \left. + 2 M \left\{ \beta \frac{d^2u}{dz^2} - k \left(\frac{d\beta}{dz} \right)^2 \right\} - P g_0 \beta^2 \right] dz \end{aligned} \quad (8)$$

3. ウェブの変形を考慮した振り底力元 (Fig. 2)

同じ断面でウェブがセン断中心の回りに外力の振りモーメント m_d をもつて Fig. 2 の如く変形したときの

弾性条件として $d_u = c_u \cdot \beta$, $d_l = c_l \cdot \beta$, $\beta_u = \beta - \alpha_u$, $\beta_l = \beta - \alpha_l$

変形の挿り合式として $E I_{uf} \cdot c_u \frac{d^2\beta}{dz^2} = d_u$, $E I_{lf} \cdot c_l \frac{d^2\beta}{dz^2} = d_l$ (9)

$$G J_{uf} \left(\frac{d\beta}{dz} - \frac{d\alpha_u}{dz} \right) = -m_u, \quad G J_{lf} \left(\frac{d\beta}{dz} - \frac{d\alpha_l}{dz} \right) = -m_l \quad (10)$$

$$GJ_W \frac{d^3\beta}{dx^3} = -(M_u - d_u c_u - d_\ell c_\ell - m_u m_\ell) \quad (11)$$

$$\frac{2D_w}{d_w}(2\alpha_u + \alpha_\ell) - M_u, \frac{2D_w}{d_w}(2\alpha_\ell + \alpha_u) - M_\ell \quad (12)$$

ここで I_{uf}, I_{lf} = 天板上、下フランジのフランジ面に垂直

直角座標回りの断面2次モーメント、 GJ_{uf}, GJ_{lf}, GJ_W
= 天板、上、下フランジ、ウェブの挙動剛性、 D_w = 板の曲げ剛性
1/4生 = $\frac{E t_w^3}{12(1-\nu^2)}$ 、平衡条件として

$$\delta_u = \delta_\ell, I_{uf} c_u \frac{d^3\beta}{dx^3} = I_{lf} c_\ell \frac{d^3\beta}{dx^3}.$$

$$\text{今 } 2 \frac{I_{uf} I_{lf}}{I_{uf} + I_{lf}} = I_{FL} \text{ とおなじ式(9)と式(11), 式(10)と式(12)}$$

から

$$-GJ_W \frac{d^3\beta}{dx^3} + \frac{EI_w}{2} \frac{d^4\beta}{dx^4} + \frac{6D_w}{d_w} (\alpha_u + \alpha_\ell) = M_u \quad (13)$$

$$-GJ_{uf} \frac{d^3\beta}{dx^3} + \frac{2D_w}{d_w} (2\alpha_u + \alpha_\ell) + GJ_{lf} \frac{d^3\beta}{dx^3} = 0, \quad -GJ_{lf} \frac{d^3\beta}{dx^3} + \frac{2D_w}{d_w} (2\alpha_\ell + \alpha_u) + GJ_{uf} \frac{d^3\beta}{dx^3} = 0 \quad (14)$$

式(14)から $\alpha_u = -J_u \frac{dw}{dx} G \frac{d^3\beta}{dx^3}$, $\alpha_\ell = -J_\ell \frac{dw}{dx} G \frac{d^3\beta}{dx^3}$

ここで $J_u = \frac{6D_w}{dw} \frac{G J_{uf} J_{lf} (\frac{I_w}{L})^2 + 2D_w (2J_{uf} - J_{lf})}{G^2 J_{uf} J_{lf} (\frac{I_w}{L})^4 + 4D_w^2 G (\frac{I_w}{L})^2 (J_{uf} + J_{lf}) + 12D_w^2}$, $J_\ell = \frac{6D_w}{dw} \frac{G J_{uf} J_{lf} (\frac{I_w}{L})^2 + 2D_w (2J_{lf} - J_{uf})}{G^2 J_{uf} J_{lf} (\frac{I_w}{L})^4 + 4D_w^2 G (\frac{I_w}{L})^2 (J_{uf} + J_{lf}) + 12D_w^2} \quad \} \quad (15)$

4. ウエブの変形を考慮した座屈応力式

エネルギーの一問題として扱う場合、ウエブ板は曲げ剛性 D_w

を持つ梁におきかえられ、その変形は Fig. 2 (c) のようである。仕事量 S のタクス $w = \frac{S(d_w - s)}{6D_w d_w} \{ (2d_w - s)M_u - (d_w + s)M_\ell \}$ となる。

これを用いて計算したウエブ変形による内部歪エネルギーとフランジの回転による歪エネルギーと式(8)に加えると、等断面柱で $P=0, M_d=0$ の場合

$$U = \frac{1}{2} \int_0^L \left[-\frac{M^2}{EI_y} \beta^2 - \left\{ 2kM \left(\frac{d\beta}{dx} \right)^2 - \beta \frac{d^2 M}{dx^2} \right\} + EI_w \left(\frac{d^3\beta}{dx^3} \right)^2 + G \left\{ J \left(\frac{d\beta}{dx} \right)^2 + \frac{dw}{dx} (J_u J_u + J_\ell J_\ell) \frac{d\beta}{dx} \frac{d^3\beta}{dx^3} \right. \right. \\ \left. \left. + \left(\frac{dw}{dx} \right)^2 (J_u^2 J_{uf} + J_\ell^2 J_{lf}) \left(\frac{d\beta}{dx} \right)^2 + \frac{dw}{dx} (J_u^2 + J_u J_\ell + J_\ell^2) \left(\frac{d^3\beta}{dx^3} \right) \right\} \right] dx \quad (16)$$

では接続部からのおよびシヤル・エネルギーの変化を示し、平衡状態が安定から不安定に変化する条件として、

$U=0$ を適用し、且つ $M=M(x)M_{max}$, $x=BL$ なる表現を用いると

$$\frac{M_{max}^2}{EI_y} \int_0^L m^2 \beta^2 dx - \frac{M_{max}}{L^2} \left\{ 8 \int_0^L \frac{d^2 m}{dx^2} \beta^2 dx - 2k \int_0^L m \left(\frac{d\beta}{dx} \right)^2 dx \right\} - \frac{EI_w}{L^4} \int_0^L \left(\frac{d^3\beta}{dx^3} \right)^2 dx - \frac{G}{L^2} \left\{ J \int_0^L \left(\frac{d\beta}{dx} \right)^2 dx \right. \\ \left. + \frac{dw}{dx} (J_u J_u + J_\ell J_\ell) \int_0^L \left(\frac{d\beta}{dx} \right) \left(\frac{d^3\beta}{dx^3} \right) dx + \left(\frac{dw}{dx} \right)^2 \int_0^L (J_u^2 + J_u J_\ell + J_\ell^2) \int_0^L \left(\frac{d^3\beta}{dx^3} \right)^2 dx + \frac{dw}{dx} (J_u^2 J_{uf} + J_\ell^2 J_{lf}) \int_0^L \left(\frac{d^3\beta}{dx^3} \right)^2 dx \right\} = 0$$

次解法

$$Q = A_1 \frac{\pi^2 EI_y}{K L^2 W_c} \left[A_2 g - A_3 k + \left[(A_2 g - A_3 k)^2 + \frac{C_w}{I_y} \left(1 + \frac{G J_{uf} J_{lf}}{\pi^2 E I_w} \right)^2 \right] + \frac{G d_w}{3 E J_{uf} J_{lf}} \left\{ G (J_u J_u + J_\ell J_\ell) A_4 + \frac{G J_{uf} J_{lf}}{12 D_w L^2} (J_u^2 J_{uf} + J_\ell^2 J_{lf}) A_5 \right. \right. \\ \left. \left. + \frac{1}{3} (J_u^2 + J_u J_\ell + J_\ell^2)^2 \right\} \right]^{\frac{1}{2}} \quad \} \quad (17)$$

$$\text{ここで } W_c = \frac{I_x}{h_c + \frac{d_w}{2}}, C_w = \frac{I_{uf} d_w^2}{2}, K^2 = \pi^2 \frac{\int_0^L \left(\frac{d^3\beta}{dx^3} \right)^2 dx}{\int_0^L \left(\frac{d\beta}{dx} \right)^2 dx}, A_1 = \frac{\int_0^L \left(\frac{d^3\beta}{dx^3} \right)^2 dx}{\int_0^L m^2 \beta^2 dx}, A_2 = \frac{\int_0^L \left(\frac{d^3\beta}{dx^3} \right)^2 dx}{\int_0^L \left(\frac{d\beta}{dx} \right)^2 dx}, A_3 = \frac{\int_0^L m \left(\frac{d\beta}{dx} \right)^2 dx}{\int_0^L m^2 \beta^2 dx}, A_4 = \frac{\int_0^L \left(\frac{d\beta}{dx} \right) \left(\frac{d^3\beta}{dx^3} \right) dx}{\int_0^L \left(\frac{d\beta}{dx} \right)^2 dx}, A_5 = \frac{\int_0^L \left(\frac{d^3\beta}{dx^3} \right)^2 dx}{\int_0^L \left(\frac{d\beta}{dx} \right)^2 dx} \quad (17)$$

式(17)のカッコ[]内の第3, 4, 5項がウエブ板の変形を表している。 C_w は m と β の関係式であって、直角の柱には境界条件を満足する β の形として $\phi \sin \pi x/L$ または $\phi \cos \pi x/L$ とえらひ; 又荷重に応じた曲げモーメントの分布から m を定めるときは、 $K, A_1, A_2, A_3, A_4, A_5$ を計算されて、これらは 1 軸対称断面柱の弾性係数と求めることができる。

5. 數値計算例

フレート・ガーフィールドで各種鋼材について各種鋼材について計算した結果は當日発表する。

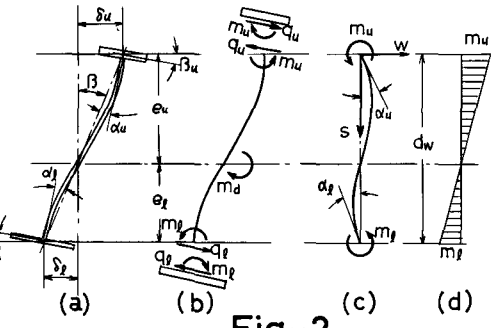


Fig-2